



IRANIAN SOCIETY of
CRYSTALLOGRAPHY
and MINERALOGY

Vol. 17, No. 3, Fall 1388/2009

IRANIAN JOURNAL of
CRYSTALLOGRAPHY
and MINERALOGY

Bi_{1.66}Pb_{0.34}Sr₂Ca₂Cu₃O superconductor preparation via solid-state reaction and sol-gel methods and the structural and magnetic properties compression with Aldrich sample

**H. Salamati*, P. Kameli, B. Mohammadzadeh, P. Pakzad, Z. Talaei, T. Morshedloo,
D. Sohrabi, I. Abdolhosseini**

Department of Physics, Isfahan University of Technology, Isfahan, Iran, 84156-83111

(Received: 19/3/2009, in revised form: 5/6/2009)

Abstract: In this paper, Bi_{1.66}Pb_{0.34}Sr₂Ca₂Cu₃O superconductor powders have been prepared via sol-gel and solid-state reaction methods. The structural and magnetic properties have been studied by the X-Ray diffraction (Fullprof analysis) and magnetic susceptibility measurements. The superconductivity and structural properties of the samples have been compared with the properties of a commercially available sample from Aldrich Company.

Keywords: *solid-state reaction method, sol-gel method, magnetic susceptibility.*

* Corresponding author, Tel.: +98 (0311) 3913717, Fax:+98 (0311) 3912376, E-mail: Salamati@cc.iut.ac.ir



ساخت $\text{Bi}_{1/6}\text{Pb}_{1/34}\text{Sr}_2\text{Ca}_2\text{Cu}_3\text{O}_x$ به روش‌های واکنش حالت جامد و سل ژل، و مقایسه خواص ساختاری و مغناطیسی آنها با نمونه آلدریچ (Aldrich)

هادی سلامتی^{*}، پرویز کاملی، بتول محمدزاده، امین پاکزاد، زهرا طلایی، تکتم مرشدلو، داود سهرابی، اسماعیل عبدالحسینی

آزمایشگاه ابررسانایی، دانشکده فیزیک، دانشگاه صنعتی اصفهان، اصفهان، ایران ۱۴۱۵۶-۱۳۱۱۱

(دریافت مقاله: ۸۷/۱۲/۱، نسخه نهایی: ۸۸/۳/۵)

چکیده: در این مقاله روش‌های واکنش حالت جامد و سل ژل برای ساخت ابررسانای $\text{Bi}_{1/6}\text{Pb}_{1/34}\text{Sr}_2\text{Ca}_2\text{Cu}_3\text{O}_x$ با استفاده از اندازه-گیری طیف پراش پرتو ایکس، آنالیز ساختاری با نرم افزار FullProf و پذیرفتاری مغناطیسی مورد بررسی قرار گرفت و با نمونه تهیه شده از شرکت آلدریچ مقایسه شده است.

واژه‌های کلیدی: روش واکنش حالت جامد، روش سل-ژل، پذیرفتاری مغناطیسی و ابررسانای *BSCCO*.

بهینه‌سازی روش‌های ساخت پودر اولیه، نحوه و زمان آسیاب-کاری، برنامه گرمادهی‌ها و تنظیم مقدار اکسیژن در طول فرایند ساخت، می‌توان تا حدی این محدودیتها را از میان برداشت. چگالی جریان بحرانی در این نمونه‌ها با عواملی مثل خلوص فاز ابررسانا، اتصال و صفت آرایی دانه‌ها و نیز گیراندازی شار مغناطیسی محدود می‌شود [۳].

تهیه پودر همگنی از مخلوط نمک‌های معدنی ترکیب ابررسانای $\text{Bi}-\text{Bi}_{2223}$ به تشکیل فاز Bi_{2223} کمک می‌کند و درصد فازهای ثانوی را کاهش می‌دهد. علاوه براین اندازه و همگنی ذرات در این مرحله موجب انجام بهتر مراحل غلتک-کاری و گرمادهی‌ها در مراحل بعدی می‌شود. نمک‌های معدنی مورد نیاز عبارتند از اکسیدهای کربنات‌ها، استات‌ها و یا نیترات‌های عنصر Bi, Ca, Sr, Cu که بیشتر از نمک معدنی Pb نیز استفاده می‌شود. به طور کلی پودر اولیه به دو روش حالت جامد و محلول شیمیائی تهیه می‌شود [۴].

مقدمه

در میان ترکیب‌های ابررسانای دمای بالا، ترکیب‌های YBCO و TBCCO به خاطر شکنندگی زیاد و رفتار پیوند ضعیف مرزدانه‌ها که ناشی از سمت‌گیری گسترهای دانه‌هاست، نسبت به ترکیب‌های BSCCO، چگالی جریان بحرانی کمی دارند. بنابراین در ساخت سیم‌های ابررسانا اغلب از ترکیب‌های BSCCO استفاده می‌شود [۱, ۲].

سیم‌ها و نوارهای ابررسانای $\text{Bi}-\text{Bi}_{2223}$ گرچه به خاطر ویژگی‌های تراپریشان بسیار اهمیت دارند، ولی مشکلات ساخت و دریافت ویژگی‌های بهینه، کاربرد آن‌ها را دشوار کرده است. یکی از دلایل اصلی ایجاد این محدودیتها، پیوندهای ضعیف بین دانه‌ای و توانایی ضعیف میکروبی شار است که می‌تواند ناشی از وجود مرزدانه‌ها، فضاهای خالی و کمکود اکسیژن باشد. علاوه براین مواردی مثل عنصرسنگی، اندازه ذره، چگالی، اندازه فازهای ثانویه، آرایش دانه‌ها و تعداد رشته‌ها از عوامل بسیار مؤثر در توانایی عبور جریان از نمونه ابررسانا هستند. با

* نویسنده مسئول، تلفن: ۰۳۱۱ ۳۹۱۳۷۱۷، نامبر: ۰۳۱۱ ۳۹۱۲۳۷۶، پست الکترونیکی: Salamati@cc.iut.ac.ir

روبرو نمی‌شوند. شکل (۱) برنامه گرمادهی بر حسب زمان را در مرحله تکلیس و کلوخه‌سازی نشان می‌دهد [۷].

در مقایسه با روش‌های حالت جامد، برتری روش‌های شیمیایی را می‌توان در ۳ مورد زیر خلاصه کرد:

(الف) کاهش انرژی مکانیکی مورد نیاز برای آسیاب کاری‌ها و زمان گرمادهی‌ها.

(ب) توانایی تولید اندازه مناسب ذرات به عنوان یک نتیجه مخلوط کاتیونی در مقیاس اتمی که مخصوصاً در مورد سیم و نوارهای ابرسانا بسیار سودمند است.

(ج) کاهش آلودگی ناشی از آسیاب کاری و به طور کلی، استفاده از پودرهای اولیه‌ای که به روش آبگون تهیه شده‌اند، امکان ساخت ابرساناهای سرامیکی دمای بالا با کیفیت مناسب را فراهم می‌آورد و برای تولید انبوه بسیار مؤثر است. این روش جایگزین بسیار خوبی برای آسیاب کاری‌های طولانی و مکرر و یا استفاده از روش‌های پیشرفته آسیاب کاری است.

برای ساخت نمونه به روش سل-ژل (نمونه B) دو آبگون متفاوت، یکی آبگون پایه و دیگری آبگون مواد به شرح زیر در دو ظرف جدا آماده شدند. برای تهیه آبگون مواد، نیترات مواد اولیه شامل، $\text{Ca}(\text{NO}_3)_2 \cdot 3\text{H}_2\text{O}$ ، $\text{Cu}(\text{NO}_3)_2 \cdot 4\text{H}_2\text{O}$ ، $\text{Pb}(\text{NO}_3)_2 \cdot 0.99/5$ (PRS)، $\text{Sr}(\text{NO}_3)_2 \cdot 0.98$ (Reidel-Merck)، 500cc $\text{Bi}(\text{NO}_3)_3 \cdot 5\text{H}_2\text{O}$ (deHean) و $\text{EDTA} \cdot \text{N}_2\text{H}_1\cdot\text{O}_1 \cdot 0.99/4$ با خلوص 99.9% از محصولات شرکت Merck) به نسبت مولی برابر با تعداد کل کاتیون‌ها، همراه با اتیلن گلیکول (EG) به نسبت مولی $3/5$ برابر کل کاتیون‌ها در 500 cc آب یون‌زدایی شده و آمونیاک ($\text{NH}_3 \cdot 0.24$) آماده شد.

پس از آماده شدن آبگون‌های اولیه، در حالی که آبگون پایه در دمای 80°C به آرامی با هم زن مغناطیسی همزده می‌شد، آبگون مواد به صورت قطره - قطره و با آهنگ تقریبی 100 قطره بر دقیقه به آن اضافه شد. پس از پایان فرایند آمیخته شدن دو آبگون، حالت ژله‌ای در آبگون نهایی به خوبی قابل دیدن بود. برای خشک کردن ژل از یک حمام روغن استفاده شد تا ژل به طور همه‌جانبه گرمادهی شود. بدین ترتیب، ژل پس از 48 ساعت به طور همگن خشک شد. برای جدا شدن از ظرف و نیز خشک شدن کامل، به مدت 3 ساعت تا دمای 400°C گرما داده شد. پودر سیاه رنگ حاصل پس از کمی سایش، بنابر (نمونه A) تکلیس و کلوخه‌سازی شد.

چنانکه گفته شد، کاهش اندازه ژره یکی از عوامل مؤثر در افزایش چگالی جریان بحرانی نمونه‌های ابرساناست. بدین منظور استفاده از روش‌های پیشرفته آسیاب‌کاری مثل پودرسازی در اثر برخورد شدید گلوله‌ها، می‌تواند بسیار سودمند باشد. [۵]

روش‌های محلول شیمیائی، شامل روش‌های هم‌رسوبی^۱، سل-ژل^۲، ماتریس پلیمری^۳ و تجزیه‌ای^۴ که نیاز به آسیاب‌کاری‌های مکرر ندارد، پودر همگنی با دانه‌های بسیار ریز فراهم می‌شود.

روش سل-ژل برای ایجاد پودرهای بسیار ریز، با توزیع یکنواخت بسیار مناسب است. برتری این روش نسبت به روش‌های دیگر، توزیع همگن‌تر و واکنش‌پذیری بالاتر اجزاء، کاهش مراحل ساخت، ریزساختار ریزتر و چگالی بالاتر ابرسانایی است. [۶].

ساخت و آزمایش‌ها

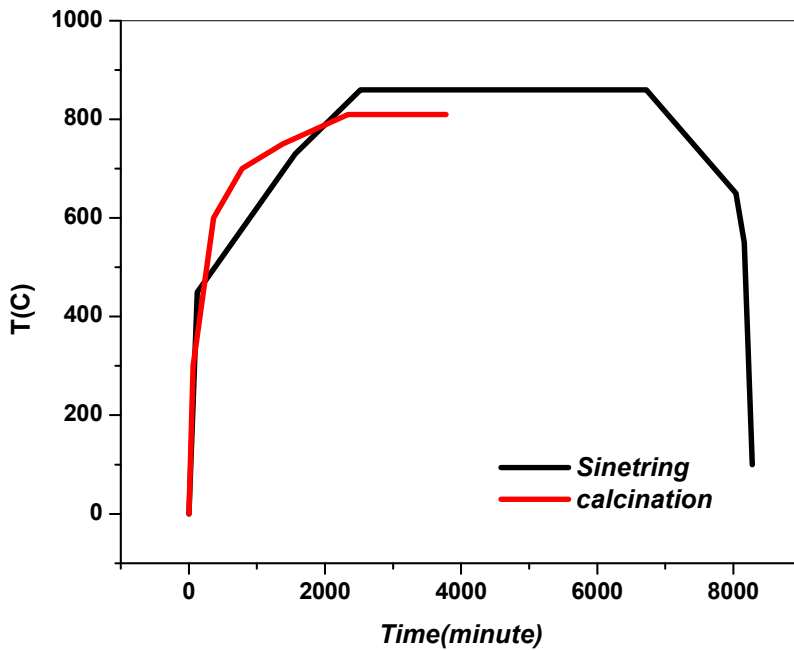
برای تهیه نمونه با ترکیب اسمی $\text{Bi}_{1/6}\text{Pb}_{.74}\text{Sr}_2\text{Ca}_2\text{Cu}_3\text{O}_x$ از دو روش واکنش حالت جامد و سل-ژل استفاده شده است. در روش حالت جامد پودرسازی از اکسید و یا کربنات‌های عناصر اولیه استفاده می‌شود و با آسیاب‌کاری‌های مکرر، همراه با گرمادهی‌های میانی پودر نهایی حاصل می‌شود. برای ساخت نمونه به روش واکنش حالت جامد (نمونه A)، پودر اکسیدهای $\text{CaO} \cdot \text{CuO}$ ، PbO ، Bi_2O_3 و کربنات SrCO_3 با درجه خلوص بیش از 99.99 درصد استفاده شده است. پودرها با هم مخلوط و به مدت 1 ساعت آسیاب شدند و سپس با ریختن محصول به دست آمده در بوته‌های آلومینیا و قرار دادن آن در کوره‌های مکعبی برای مدت 24 ساعت در دمای 810 درجه سانتی‌گراد تکلیس شدند. عمل آسیاب و تکلیس برای سه بار متوالی تکرار شد. محصول به دست آمده در قالب‌های ویژه‌ای در فشاری معادل 12 تن به صورت قرص‌هایی به قطر 20 میلی‌متر و ضخامت 2 تا 3 میلی‌متر در آمدند. عملیات گرمادهی در مرحله کلوخه‌سازی در فشار محيط و بدون استفاده از شار اکسیژن انجام شد، زیرا نمونه‌های $\text{Bi}_{1/6}\text{Pb}_{.74}\text{Sr}_2\text{Ca}_2\text{Cu}_3\text{O}_x$ هنگام تشکیل فاز، معمولاً فقط اکسیژن‌های اضافی را از دست می‌دهند و با کمیود اکسیژن

1- Co precipitation

2 - Sol-Gel

3 - Polymer Matrix

4 - Decomposition



شکل ۱ نمودار گرمادهی در مرحله تکلیس و کلوخه‌سازی نمونه‌ی Bi-۲۲۲۳ در روش واکنش حالت جامد.

است. در شکل (۲) تغییرات مولفه‌های حقیقی و موهومی پذیرفتاری مغناطیسی AC نمونه‌ها بر حسب دما در بسامد ۳۳۳ Hz و میدان 8 A/m^0 نشان داده شده است.

می‌دانیم که در ترکیب‌های ساختار دانه‌ای

$$\chi' = f_g \chi'_g + (1-f_g) \chi'_m \quad (1)$$

f_g کسر حجمی موثر دانه‌ها، χ'_g ، پذیرفتاری مغناطیسی حقیقی دانه‌ها، χ'_m ، پذیرفتاری مغناطیسی حقیقی بین دانه‌ای است.

با توجه به اینکه در دماهای پایین و میدان‌های بالا، رابطه بین عوامل به صورت زیر است

$$\chi'_g = -1, \chi'_m = 0 \rightarrow \chi' = -f_g \quad (2)$$

در دماهای بالا (بالاتر از T_e ، دمای گذار بین دانه‌ای) $\chi' \rightarrow 0$ و تنها سهم دانه‌ها در χ' وجود دارد و در نتیجه میزان افت χ' نمایانگر نسبت حجمی فاز ابرسانایی خواهد بود، و چون میزان افت χ' در نمونه B بیشتر است، نسبت حجمی فاز ابرسانایی در آن بیشتر خواهد بود [۵].

نتایج و بحث

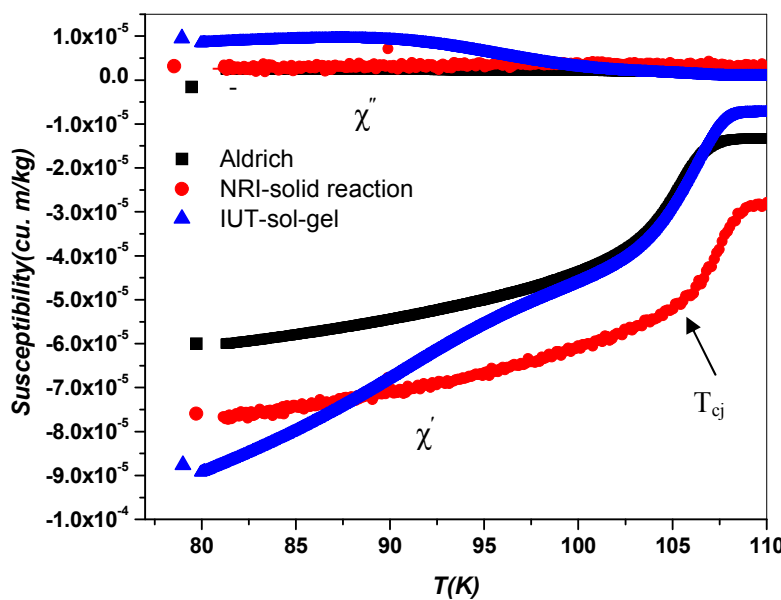
اعمال میدان مغناطیسی متناسب به نمونه‌ها، اختلاف فازی در تابع پاسخ نمونه‌ها به وجود می‌آورد که شامل دو جمله همفاز χ' و ناهمفاز χ'' است. برای یک نمونه ابررسانا، χ معادل پوشش ابرحریان و χ'' اتلاف انرژی ناشی از پسماند مغناطیسی و حرکت خطوط شار مغناطیسی هستند. نتایج حاصل از اندازه‌گیری پذیرفتاری متناسب و تغییرات منحنی‌های χ (بخش حقیقی منحنی) و χ'' (بخش موهومی منحنی) با میدان مغناطیسی متناسب، اطلاعات با ارزشی از ویژگی‌های ساختاری نمونه در برداشته و می‌توان با استفاده از آن تعدادی از پارامترهای سرشی و تغییرات آنها را بررسی کرد. مهمترین ویژگی که باید به آن اشاره کرد، ویژگی ابرسانندگی دانه‌ای و بین دانه‌ای است که تاثیر مستقیمی روی منحنی‌های χ و χ'' دارد. با افزایش دما، میدان مغناطیسی نخست بین دانه‌های ابررسانا نفوذ می‌کند (تشکیل گردابه‌های شار بین دانه‌های ابررسانا)، که با دومین تشدید بخش حقیقی منحنی پذیرفتاری همخوانی دارد، و سپس به درون دانه‌های ابررسانا نیز آغاز به نفوذ خواهد کرد که این با اولین افت بخش حقیقی منحنی پذیرفتاری همخوان

شده، در نظر گرفته نشده است. در همه این نمونه‌ها فاز $\text{Bi}_{1/6}\text{Pb}_{7/24}\text{Sr}_2\text{Ca}_2\text{Cu}_3\text{O}_x$ با ساختار بلوری چارگوشی (گروه فضایی I^4/mmm) و ثابت‌های شبکه $a = 5.4010 \text{ \AA}$ و $c = 37.1 \text{ \AA}$ ، فاز $\text{Bi}_{1/6}\text{Pb}_{7/24}\text{Sr}_2\text{Ca}_2\text{Cu}_3\text{O}_x$ با ساختار بلوری راستگوشی (گروه فضایی Fmmm) و ثابت‌های شبکه $a = 5.39 \text{ \AA}$ ، $b = 5.421 \text{ \AA}$ و $c = 37.1 \text{ \AA}$ ، فاز $\text{CaCu}_2\text{Sr}_2\text{Bi}_2\text{O}_8$ و $\text{Ca}_2\text{Sr}_2\text{CuO}_6$ (با ساختار بلوری چارگوشی (گروه فضایی P^4_4) با ثابت‌های شبکه $a = 5.37 \text{ \AA}$ و $c = 30.66 \text{ \AA}$) و نیز فاز $\text{Bi}_2\text{Sr}_2\text{CuO}_x$ با ساختار بلوری تک میل (گروه فضایی $\text{A}2/\text{a}$) و ثابت‌های شبکه $a = 5.39 \text{ \AA}$ ، $b = 5.30 \text{ \AA}$ ، $c = 24.42 \text{ \AA}$ و $\beta = 90^\circ$ وجود دارد. درصد فازها در نمونه‌های B، C و A، برای فاز $\text{Bi}-2223$ به ترتیب ۸۱، ۸۶ و ۸۱ درصد، برای فاز $\text{Bi}-2212$ و ۱۲ درصد و برای فاز $\text{Bi}-2201$ ۵، ۷ و ۷ درصد است. این نتایج نشان می‌دهند که درصد فاز $\text{Bi}-2223$ در نمونه تهیه شده به روش سل-ژل بیشتر است.

شکل (۲) دمای گذار بین دانه‌ای ۱۰۵ کلوین را برای نمونه B و دمای گذار بین دانه‌ای ۱۰۸ کلوین را برای نمونه A نشان می‌دهد. ولی با توجه به اینکه افت χ'' در نمونه B بیشتر است و در دمای ۷۷ کلوین، مقدار کمتری را نشان می‌دهد، نمونه B دارای خواص ابررسانایی بهتری است.

طرح پراش پرتو X پس از مرحله خشک کردن، همراه با برچسب‌های میلر وابسته به ۳ فاز، $\text{Pb}_2\text{Bi}_2\text{O}_{11}$ و CuBi_2O_4 و $(\text{Sr}, \text{Ca})\text{CO}_3$ با ساختارهای بلوری مندرج که در جدول (۱)، در شکل (۳) دیده می‌شوند.

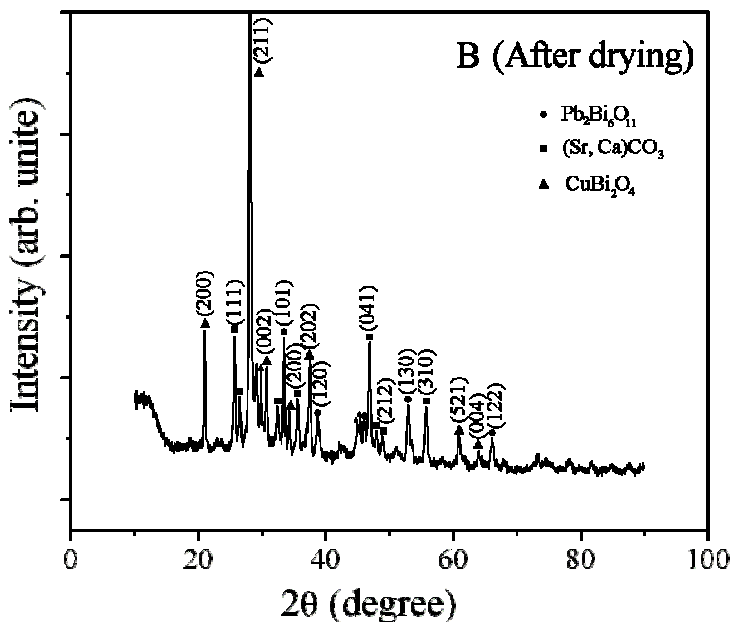
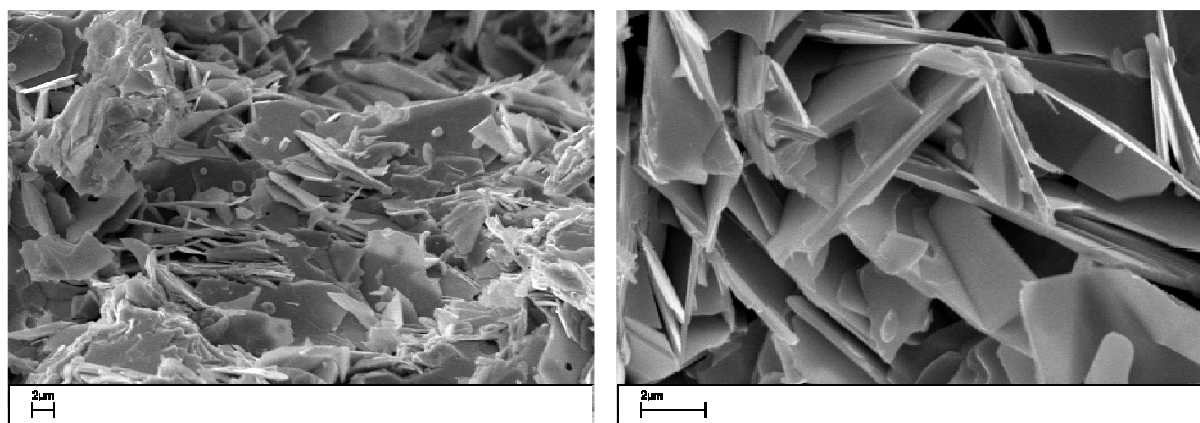
تصاویر SEM از نمونه B در شکل (۴) نشان داده شده است که در این تصاویر تشکیل صفحات ابررسانایی فاز $-2223-\text{Bi}$ به طور یکنواخت در سراسر نمونه دیده می‌شود. شکل (۵) نتایج حاصل از پراش پرتو ایکس برای نمونه B، A و C را نشان می‌دهد. آنالیز این نقش‌ها با نرم افزار Fullprof انجام شد که بر اساس نتایج این آنالیز، شاخص‌های میلر وابسته به دسته صفحات بلوری روی هر قله نوشته شده‌اند. در این آنالیز، توان دوم X که معیاری از برازیده بودن است، کمتر از ۲ بود که مقدار قابل قبولی است. در این محاسبات، قله T_{cj} که فقط در پراش پرتو ایکس نمونه آلدريچ اندازه‌گیری

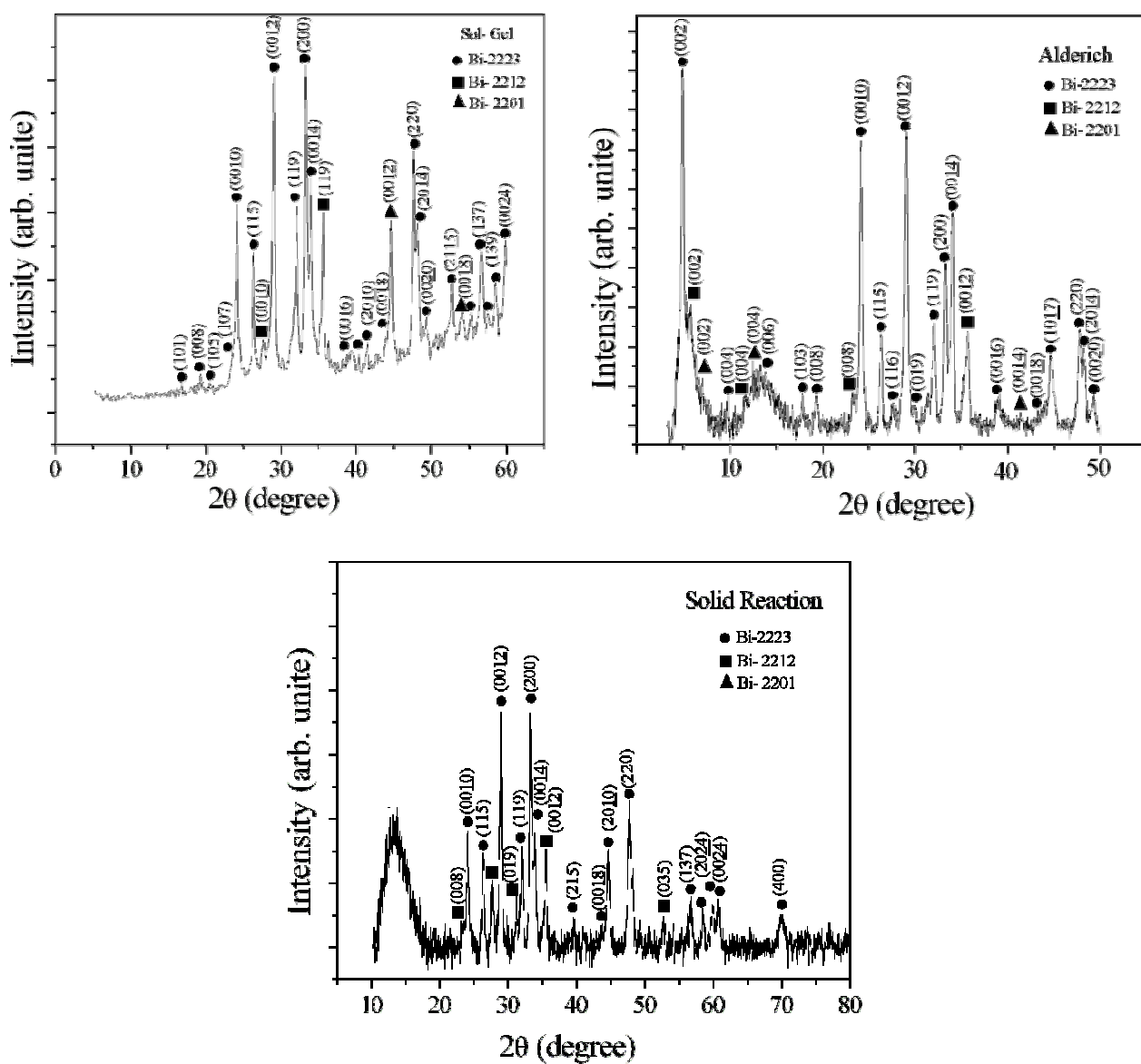


شکل ۲ نمودار پذیرفتاری مغناطیسی نمونه‌های پودری بر حسب دما در میدان $8/0.333 \text{ Hz}$.

جدول ۱ ساختار بلوری فازهای نشان داده شده در نقش پراش پرتو X برای پودر نمونه B پس از مرحله خشک کردن.

فاز	ساختار بلوری	گروه فضایی	ثابت‌های شبکه		
			$a (\text{\AA})$	$b (\text{\AA})$	$c (\text{\AA})$
$Pb_2Bi_6O_{11}$	تک میل	$P21M$	۴,۰۷۷۱۳۱	۵,۶۹۶۸۳۶	۳۷,۵۶۳۶۱۳
$(Sr,Ca)CO_3$	راستگوشی	$Pmcn$	۵,۰۴۷۲۰۳	۸,۲۱۸۲۸۳	۸,۸۸۵۵۶۸
$CuBi_2O_4$	چارگوشی	$P4/ncc$	۸,۴۷۹۳۳۹	۵,۸۳۰۲۹۰	۵,۸۳۰۲۹۰

شکل ۳: نقش پراش پرتو X برای پودر نمونه B پس از مرحله خشک کردن.شکل ۴ تصاویر SEM از نمونه B در مرحله نهایی.



شکل ۵ پراش پرتو ایکس نمونه‌های A, B و C و نتایج آنالیز Full Prof

شرکت Alderich، شباهت زیادی بین ویژگی‌های بلوری آنها برقرار است.

مراجع

- [1] Jin S., "Processing and properties of high- T_c superconductor", World Scientific, 1992, 121-154.
- [2] Gul I.H., Anis-ur-Rehman M., Maqsood A., "Temperature dependence of thermal and electrical conductivity of Bi-based high- T_c (2223) superconductor", Physica C 450 (2006) 83-87

برداشت
ابرسانای $\text{Bi}_{1/6}\text{Pb}_{7/24}\text{Sr}_7\text{Ca}_7\text{Cu}_3\text{O}_x$ به دو روش واکنش حالت جامد و سل ژل ساخته شدند. اندازه‌گیری پذیرفتاری مغناطیسی و آنالیز Full Prof نشان می‌دهد که نمونه ساخته شده به روش سل-ژل دارای وابستگی‌های بین دانه‌ای بهتر، و تشکیل فاز بهتر نسبت به نمونه ساخته شده به روش واکنش حالت جامد است. با مقایسه پارامترهای شبکه و درصد فازهای تشکیل شده در نمونه‌های ساخته شده و نمونه خریداری شد از

- of BSCCO powder prepared by attrition milling”, Supercond. Sci. Technol. 18 (2005) 317- 324.*
- [6] Calleja A., Casas X., Serradilla I.G., Segarra M., Sin A., Odier P., Espiell F., “*Up-scaling of superconductor powders by the acrylamide polymerization method”, Physica C 372-376 (2002) 1115- 1118.*
- [7] Abdolhosseini I., Kameli P., Salamati H., “*The effect of precursor powder size on the microstructure and intergranular properties of Bi2223 superconductors”, Japanese Journal of Applied Physics (JJAP), 47, 6, 4505-4510 (2008).*
- [3] Yi H.P., Han Z., Zhang J.S., Liu T., Liu L., Li M.Y., Liu J.Q., Zheng Y.K., “*Research status of the manufacturing technology and application properties of Bi-2223/Ag tapes at Innost”, Physica C 412–414 (2004) 1073–1078.*
- [4] Garnier V., Caillard R., Desgardin G., “*Bi (Pb)₂ Sr₂ Ca₂ Cu₃ O₁₀ ceramic synthesized using a polymer matrix method”, Journal of the European Ceramic Society 21 (2001) 1139-1142.*
- [5] Patel R.H., Nabialek A., Niewczas M., “*Characterization of superconducting properties*